

# 基于粒子滤波的混沌系统参数估计和滤波方法

李国辉<sup>1,2</sup>, 李亚安<sup>1</sup>, 杨宏<sup>1,2</sup>

(1. 西北工业大学 航海学院, 陕西 西安 710072; 2. 西安邮电大学 电子工程学院, 陕西 西安 710121)

**摘要:** 混沌系统的参数估计是混沌系统控制和同步的前提。鉴于混沌系统具有初值敏感性、不能长期预测等特点,提出了一种基于粒子滤波(PF)的混沌系统参数估计和滤波方法,并将其用于Lorenz混沌系统的参数估计和滤波,在叠加噪声情况下对混沌系统进行仿真分析。结果表明,文中提出的滤波方法在估计偏差方面优于基于扩展卡尔曼滤波(EKF)的混沌系统参数估计和滤波方法,对混沌系统的参数估计和滤波是一种有效的方法。

**关键词:** 自动控制技术; 混沌系统; 粒子滤波; 扩展卡尔曼滤波器; 滤波

**中图分类号:** TP391      **文献标志码:** A      **文章编号:** 1000-1093(2012)12-1504-06

## A Parameter Estimation and Filtering Method of Chaotic System Based on Particle Filter

LI Guo-hui<sup>1,2</sup>, LI Ya-an<sup>1</sup>, YANG Hong<sup>1,2</sup>

(1. School of Marine Engineering, Northwestern Polytechnical University, Xi'an 710072, Shaanxi, China;

2. School of Electronic and Engineering, Xi'an University of Posts and Telecommunications, Xi'an 710121, Shaanxi, China)

**Abstract:** The parameter estimation of chaotic system is a premise of system control and synchronization. In view of chaotic system's characteristics, such as sensitivity to initial condition, long-term unpredictability and so on, a filter applying to chaotic system was proposed based on chaotic system state space theory and particle filter (PF) theory. In a superimposed noise conditions, the parameter estimation and filtering of Lorenz chaotic system were simulated and analyzed. The simulation results show the proposed filtering algorithm is better than a chaotic system parameter estimation and filtering method based on extended Kalman filter (EKF) in bias estimates, and is an effective method for estimating the parameters of chaotic system and filter.

**Key words:** automatic control technology; chaotic system; particle filter; extended Kalman filter; filter

## 0 引言

混沌系统的参数估计是混沌系统控制和同步的前提,具有十分重要的现实意义<sup>[1-2]</sup>。近年来,混沌系统参数估计方法研究已成为一个热点,国内外研究学者先后提出了多种估计混沌系统参数的有效方法,如遗传算法<sup>[3]</sup>、改进粒子群优化算法<sup>[4]</sup>、混合差分

进化算法<sup>[5]</sup>、混合遗传粒子群算法<sup>[6]</sup>、混合量子进化计算<sup>[7]</sup>等。但这些算法的理论并不完善,而在线性和非线性系统中,粒子滤波(PF)具有较好的估计性能。

针对混沌系统的特点,尝试提出一种基于PF的混沌系统参数估计和滤波方法,并将其用于Lorenz混沌系统的参数估计和滤波,在叠加噪声情况下对系统进行仿真分析。

收稿日期: 2011-12-14

基金项目: 国家自然科学基金项目(51179157); 陕西省教育厅专项科研项目(2010JK823, 2012JK0493); 西安邮电大学青年教师科研基金(ZL2010-22, ZL2011-07)

作者简介: 李国辉(1978—),男,副教授。E-mail: lghcd@163.com;

李亚安(1961—),男,教授,博士生导师。E-mail: liyaan@nwpu.com

## 1 PF 基本算法

PF 是一种基于 Monte Carlo 仿真的递推贝叶斯估计方法<sup>[8]</sup>,可以有效地处理非线性、非高斯噪声环境下的状态估计问题,目前被广泛应用于非线性、非高斯环境的参数估计和状态估计<sup>[9-11]</sup>。

PF 的基本思想是用一系列带权值的粒子  $\{x_{0,k}^i, w_k^i\}_{i=1}^N$  来表示后验概率密度  $p(x_{0,k} | y_{1:k})$ ,  $w_k^i$  是粒子  $x_{0,k}^i$  对应的归一化权值,即  $\sum_{i=1}^N w_k^i = 1$ , 则  $k$  时刻的后验概率密度可近似地表示为

$$p(x_{0,k} | y_{1:k}) \approx \sum_{i=1}^N w_k^i \delta(x_{0,k} - x_{0,k}^i). \quad (1)$$

如果能直接从先验概率密度  $p(x)$  中产生粒子,则每一个粒子权重为  $\frac{1}{N}$ . 当无法从  $p(x)$  中产生粒子时,可以从重要性函数  $q(x_{0,k} | y_{1:k})$  中采样产生粒子  $x_{0,k}^i$  为

$$x_{0,k}^i \sim q(x_{0,k}^i | x_{0,k-1}^i, y_{1:k}^i), i = 1, 2, \dots, N, \quad (2)$$

且权值更新为

$$w_k^i \propto w_{k-1}^i \frac{p(y_k | x_k^i) p(x_k^i | x_{k-1}^i)}{q(x_k^i | x_{k-1}^i, y_k)}. \quad (3)$$

可见 PF 是利用重要密度函数获取支撑点集,并随着测量值的依次到来迭代求得相应的权值,最终以加权和表征后验概率密度,得到状态的估计值。其具体的论证和推导可参见文献[12]。

## 2 混沌系统的状态空间描述和估计

卡尔曼滤波器是时域滤波方法,它描述混沌系统用状态空间,其算法是递归的。混沌方程可表示为

$$\mathbf{X}(k+1) = \mathbf{f}[\mathbf{X}(k)], \quad (4)$$

当  $\mathbf{X} \in \mathbf{R}^n$ ,  $\mathbf{f}[\mathbf{X}(k)]$  是  $n$  维向量函数。

混沌系统可视为  $\mathbf{X}(k+1) = \mathbf{A}\mathbf{X}(k) + \mathbf{f}[\mathbf{X}(k)]$ . 当  $\mathbf{X} \in \mathbf{R}^n$  为状态向量,  $\mathbf{A} \in \mathbf{R}^{n \times n}$  为状态矩阵,  $\mathbf{f}(\cdot) \in \mathbf{R}^n$  为一个非线性函数向量。

一般来说,混沌系统可分为两部分:线性部分和非线性部分,所以状态方程和观测方程为

$$\mathbf{X}(k+1) = \mathbf{A}(k)\mathbf{X}(k) + \mathbf{B}(k)\mathbf{F}[\mathbf{X}(k)] + \mathbf{D}(k)\mathbf{W}(k), \quad (5)$$

$$\mathbf{Z}(k+1) = \mathbf{E}(k)\mathbf{X}(k+1) + \mathbf{H}(k)\boldsymbol{\theta}[\mathbf{X}(k+1)] + \mathbf{G}(k)\mathbf{V}(k), \quad (6)$$

式中:  $\mathbf{X}(k) \in \mathbf{R}^n$  为系统状态向量;  $\mathbf{Z}(k) \in \mathbf{R}^m$  系统观测向量;  $\mathbf{F}(\cdot) \in \mathbf{R}^n$  和  $\boldsymbol{\theta}(\cdot) \in \mathbf{R}^n$  分别为非线性

向量函数。  $\mathbf{A}(k) \in \mathbf{R}^{n \times n}$ ,  $\mathbf{B}(k) \in \mathbf{R}^{n \times n}$ ,  $\mathbf{D}(k) \in \mathbf{R}^{n \times p}$ ,  $\mathbf{E}(k) \in \mathbf{R}^{m \times n}$ ,  $\mathbf{H}(k) \in \mathbf{R}^{m \times n}$ ,  $\mathbf{G}(k) \in \mathbf{R}^{m \times m}$  为时变矩阵。  $\mathbf{W}(k)$  为混沌系统过程噪声向量;  $\mathbf{V}(k)$  为混沌系统观测噪声向量,  $\mathbf{W}(k)$ ,  $\mathbf{V}(k)$  相互独立,为高斯白噪声,其均值为 0, 方差分别为  $\mathbf{Q}(k)$ ,  $\mathbf{R}(k)$ ;  $\mathbf{Z}(k)$  为  $k$  时刻观测值;  $\hat{\mathbf{X}}(k)$  为  $\mathbf{X}(k)$  的最优估计,  $\hat{\mathbf{X}}(k+1|k)$  为  $k$  时刻  $\hat{\mathbf{X}}(k)$  已知的情况下,  $\hat{\mathbf{X}}(k+1)$  的前向估计值。

$$\mathbf{X}^f(k+1|k) = \mathbf{F}[\mathbf{X}(k)] \approx \mathbf{F}[\hat{\mathbf{X}}(k)] + \frac{\partial \mathbf{F}}{\partial \hat{\mathbf{X}}(k)} [\mathbf{X}(k) - \hat{\mathbf{X}}(k)] =$$

$$\hat{\mathbf{X}}^f(k+1|k) + \frac{\partial \mathbf{F}}{\partial \hat{\mathbf{X}}(k)} [\mathbf{X}(k) - \hat{\mathbf{X}}(k)],$$

所以

$$\mathbf{X}^f(k+1|k) - \hat{\mathbf{X}}^f(k+1|k) = \frac{\partial \mathbf{F}}{\partial \hat{\mathbf{X}}(k)} [\mathbf{X}(k) - \hat{\mathbf{X}}(k)], \quad (7)$$

$$\hat{\mathbf{X}}(k+1|k) = \mathbf{A}(k+1|k)\hat{\mathbf{X}}(k) + \mathbf{B}(k+1|k)\hat{\mathbf{X}}^f(k+1|k), \quad (8)$$

$$\mathbf{Z}^f(k+1|k) = \boldsymbol{\theta}[\mathbf{X}(k)] \approx \boldsymbol{\theta}[\hat{\mathbf{X}}(k)] + \frac{\partial \boldsymbol{\theta}}{\partial \hat{\mathbf{X}}(k)} [\mathbf{X}(k) - \hat{\mathbf{X}}(k)] =$$

$$\hat{\mathbf{Z}}^f(k+1|k) + \frac{\partial \boldsymbol{\theta}}{\partial \hat{\mathbf{X}}(k)} [\mathbf{X}(k) - \hat{\mathbf{X}}(k)],$$

$$\mathbf{Z}^f(k+1|k) - \hat{\mathbf{Z}}^f(k+1|k) = \frac{\partial \boldsymbol{\theta}}{\partial \hat{\mathbf{X}}(k)} [\mathbf{X}(k) - \hat{\mathbf{X}}(k)], \quad (9)$$

$$\hat{\mathbf{Z}}(k+1|k) = \mathbf{E}(k)\hat{\mathbf{X}}(k+1|k) + \mathbf{H}(k)\hat{\mathbf{Z}}^f(k+1|k). \quad (10)$$

状态估计最优时:

$$\mathbf{J} = \mathbf{E} \{ [\mathbf{X}(k+1) - \hat{\mathbf{X}}(k+1|k)] [\mathbf{X}(k+1) - \hat{\mathbf{X}}(k+1|k)]^T \} = \min. \quad (11)$$

将(7)式、(8)式代入(12)式,

$$\begin{aligned} \mathbf{M}(k+1|k) &= \mathbf{X}(k+1) - \hat{\mathbf{X}}(k+1|k) = \\ &= \mathbf{A}(k+1|k)\mathbf{X}(k) + \mathbf{B}(k+1|k)\mathbf{X}^f(k+1|k) + \\ &= \mathbf{D}(k+1|k)\mathbf{W}(k) - \mathbf{A}(k+1|k)\hat{\mathbf{X}}(k) - \\ &= \mathbf{B}(k+1|k)\hat{\mathbf{X}}^f(k+1|k) = \\ &= [\mathbf{A}(k+1|k) + \mathbf{B}(k+1|k)\boldsymbol{\Phi}(k+1|k)] [\mathbf{X}(k) - \\ &= \hat{\mathbf{X}}(k)] + \mathbf{D}(k+1|k)\mathbf{W}(k), \end{aligned} \quad (12)$$

式中:

$$\boldsymbol{\Phi}(k+1|k) = \frac{\partial \mathbf{F}}{\partial \hat{\mathbf{X}}(k)} =$$

$$\begin{bmatrix} \frac{\partial F}{\partial X^1(k)} & \frac{\partial F}{\partial X^2(k)} & \cdots & \frac{\partial F}{\partial X^n(k)} \\ \frac{\partial F^2}{\partial X^1(k)} & \frac{\partial F^2}{\partial X^2(k)} & \cdots & \frac{\partial F^2}{\partial X^n(k)} \\ \cdots & \cdots & \cdots & \cdots \\ \frac{\partial F^n}{\partial X^1(k)} & \frac{\partial F^n}{\partial X^2(k)} & \cdots & \frac{\partial F^n}{\partial X^n(k)} \end{bmatrix}_{X(k)=\hat{X}(k)} ;$$

$$\hat{X}(k) = \hat{X}(k|k-1) + \mathbf{K}(k) [\mathbf{Z}(k) - \hat{\mathbf{Z}}(k|k-1)]. \quad (13)$$

将(9)式、(10)式、(13)式代入(14)式,

$$\begin{aligned} \mathbf{L}(k) &= \mathbf{X}(k) - \hat{\mathbf{X}}(k) = \mathbf{X}(k) - \hat{\mathbf{X}}(k|k-1) - \\ &\quad \mathbf{K}(k) [\mathbf{Z}(k) - \hat{\mathbf{Z}}(k|k-1)] = \\ &[\mathbf{I} - \mathbf{K}(k)\mathbf{E}(k) + \mathbf{K}(k)\mathbf{H}(k)\mathbf{\Theta}(k)]\mathbf{M}(k|k-1) - \\ &\quad \mathbf{K}(k)\mathbf{G}(k)\mathbf{V}(k), \end{aligned} \quad (14)$$

式中:

$$\mathbf{\Theta}(k) = \frac{\partial \theta}{\partial \hat{\mathbf{X}}(k)} =$$

$$\begin{bmatrix} \frac{\partial \theta}{\partial X^1(k)} & \frac{\partial \theta}{\partial X^2(k)} & \cdots & \frac{\partial \theta}{\partial X^n(k)} \\ \frac{\partial \theta^2}{\partial X^1(k)} & \frac{\partial \theta^2}{\partial X^2(k)} & \cdots & \frac{\partial \theta^2}{\partial X^n(k)} \\ \cdots & \cdots & \cdots & \cdots \\ \frac{\partial \theta^n}{\partial X^1(k)} & \frac{\partial \theta^n}{\partial X^2(k)} & \cdots & \frac{\partial \theta^n}{\partial X^n(k)} \end{bmatrix}_{X(k)=\hat{X}(k|k-1)} ;$$

$$\mathbf{J}' = \mathbf{E} \{ [\mathbf{X}(k) - \hat{\mathbf{X}}(k)] [\mathbf{X}(k) - \hat{\mathbf{X}}(k)]^T \} = \min. \quad (15)$$

$$\begin{aligned} \mathbf{L}(k)\mathbf{L}^T(k) &= \{ [\mathbf{I} - \mathbf{K}(k)\mathbf{E}(k) + \\ &\quad \mathbf{K}(k)\mathbf{H}(k)\mathbf{\Theta}(k)]\mathbf{M}(k|k-1) - \\ &\quad \mathbf{K}(k)\mathbf{G}(k)\mathbf{V}(k) \} \{ [\mathbf{I} - \mathbf{K}(k)\mathbf{E}(k) + \\ &\quad \mathbf{K}(k)\mathbf{H}(k)\mathbf{\Theta}(k)]\mathbf{M}(k|k-1) - \mathbf{K}(k)\mathbf{G}(k)\mathbf{V}(k) \}^T = \\ &[\mathbf{I} - \mathbf{K}(k)\mathbf{E}(k) + \mathbf{K}(k)\mathbf{H}(k)\mathbf{\Theta}(k)]\mathbf{M}(k|k-1) \cdot \\ &\mathbf{M}^T(k|k-1) [\mathbf{I} - \mathbf{K}(k)\mathbf{E}(k) + \mathbf{K}(k)\mathbf{H}(k)\mathbf{\Theta}(k)]^T - \\ &\mathbf{K}(k)\mathbf{G}(k)\mathbf{V}(k)\mathbf{M}^T(k|k-1) [\mathbf{I} - \mathbf{K}(k)\mathbf{E}(k) + \\ &\quad \mathbf{K}(k)\mathbf{H}(k)\mathbf{\Theta}(k)] - [\mathbf{I} - \mathbf{K}(k)\mathbf{E}(k) + \\ &\quad \mathbf{K}(k)\mathbf{H}(k)\mathbf{\Theta}(k)]\mathbf{M}(k|k-1)\mathbf{V}^T(k)\mathbf{G}^T(k)\mathbf{V}^T(k) + \\ &\quad \mathbf{K}(k)\mathbf{G}(k)\mathbf{V}(k)\mathbf{V}^T(k)\mathbf{G}^T(k)\mathbf{V}^T(k). \\ &E[\mathbf{M}(k|k-1)\mathbf{V}^T(k)] = 0, \\ &E[\mathbf{V}(k)\mathbf{M}^T(k|k-1)] = 0, \\ \mathbf{P}(k) &= [\mathbf{I} - \mathbf{K}(k)\mathbf{E}(k) + \mathbf{K}(k)\mathbf{H}(k)\mathbf{\Theta}(k)]\mathbf{P}(k|k-1) \\ &+ [\mathbf{I} - \mathbf{K}(k)\mathbf{E}(k) + \mathbf{K}(k)\mathbf{H}(k)\mathbf{\Theta}(k)]^T + \\ &\quad \mathbf{K}(k)\mathbf{G}(k)\mathbf{R}(k)\mathbf{K}^T(k)\mathbf{G}^T(k). \end{aligned} \quad (16)$$

如果让  $\mathbf{P}(k)$  值是最小值,那么

$$\mathbf{K}(k) = \mathbf{P}(k|k-1)\mathbf{E}^T(k) [\mathbf{E}(k)\mathbf{P}(k|k-1) + \mathbf{G}^T(k)\mathbf{R}(k)\mathbf{G}^T(k)]^{-1}, \quad (17)$$

$$\mathbf{P}(k) = [\mathbf{I} - \mathbf{K}(k)\mathbf{E}(k) + \mathbf{K}(k)\mathbf{H}(k)\mathbf{\Theta}(k)] \cdot \mathbf{P}(k|k-1), \quad (18)$$

$$\begin{aligned} \mathbf{P}(k+1|k) &= [\mathbf{A}(k+1|k)] + \mathbf{B}(k+1|k)\mathbf{\Phi}(k+1|k) \\ &+ \mathbf{P}(k)[\mathbf{A}(k+1|k)] + \mathbf{B}(k+1|k)\mathbf{\Phi}(k+1|k) \\ &+ \mathbf{D}(k+1|k)\mathbf{Q}(k)\mathbf{D}^T(k+1|k). \end{aligned}$$

### 3 Lorenz 混沌系统的状态估计分析

Lorenz 混沌系统

$$\begin{bmatrix} \dot{x} \\ \dot{y} \\ \dot{z} \end{bmatrix} = \begin{bmatrix} -a & a & 0 \\ c & -1 & 0 \\ 0 & 0 & -b \end{bmatrix} \begin{bmatrix} x \\ y \\ z \end{bmatrix} + \begin{bmatrix} 0 \\ -xz \\ xy \end{bmatrix}, \quad (19)$$

采用一阶离散化公式,即

$$\dot{x} = \frac{x(k+1) - x(k)}{dt},$$

式中:  $dt$  为采样时间,取 0.001 s;  $k$  为采样时刻。

则 Lorenz 混沌系统离散化后叠加噪声为

$$\begin{aligned} \mathbf{X}(k+1) &= \begin{bmatrix} -adt+1 & adt & 0 \\ cdt & 1-dt & 0 \\ 0 & 0 & 1-bdt \end{bmatrix} \mathbf{X}(k) + \\ & \begin{bmatrix} 1 & 0 & 0 \\ 0 & 1 & 0 \\ 0 & 0 & 1 \end{bmatrix} \mathbf{F}[\mathbf{X}(k)] + \begin{bmatrix} 1 & 0 & 0 \\ 0 & 1 & 0 \\ 0 & 0 & 1 \end{bmatrix} \mathbf{W}(k), \end{aligned} \quad (20)$$

$$\mathbf{Z}(k+1) = \begin{bmatrix} 1 & 0 & 0 \\ 0 & 1 & 0 \\ 0 & 0 & 1 \end{bmatrix} \mathbf{X}(k) +$$

$$\begin{bmatrix} 1 & 0 & 0 \\ 0 & 1 & 0 \\ 0 & 0 & 1 \end{bmatrix} \mathbf{\Theta}[\mathbf{X}(k)] + \begin{bmatrix} 1 & 0 & 0 \\ 0 & 1 & 0 \\ 0 & 0 & 1 \end{bmatrix} \mathbf{V}(k), \quad (21)$$

$$\mathbf{F}[\mathbf{X}(k)] = \begin{bmatrix} 0 \\ -X_1(k)X_2(k)dt \\ X_1(k)X_2(k)dt \end{bmatrix},$$

$$\mathbf{\Theta}[\mathbf{X}(k)] = \begin{bmatrix} X_3(k) \\ -X_1(k)X_2(k) \\ X_2(k)X_3(k) \end{bmatrix},$$

$\mathbf{W}(k) \sim N(0, q), \mathbf{V}(k) \sim N(0, r)$ .

$\mathbf{X}(k), \mathbf{W}(k), \mathbf{V}(k)$  是独立的,然后

$$\begin{aligned} \mathbf{\Phi}[k+1|k] &= \begin{bmatrix} 0 & 0 & 0 \\ -X_3(k)dt & 0 & -X_1(k)dt \\ X_2(k)dt & X_1(k)dt & 0 \end{bmatrix}. \\ \mathbf{\Theta}[k] &= \\ & \begin{bmatrix} 0 & 0 & 1 \\ -X_2(k|k-1) & -X_1(k|k-1) & 0 \\ 0 & X_3(k|k-1) & X_2(k|k-1) \end{bmatrix}. \end{aligned}$$

### 3.1 基于 EKF 的混沌系统参数估计和滤波

根据(4)式~(18)式, Lorenz 混沌系统状态估计:

$$\hat{X}(k+1|k) = A\hat{X}(k) + B\hat{X}^f(k+1|k) = A\hat{X}(k) + F[\hat{X}(k)] + \Phi(k+1|k)[X(k) - \hat{X}(k)], \quad (22)$$

$$\hat{X}(k) = \hat{X}(k|k-1) + K(k)[Z(k) - Z(k|k-1)] = \hat{X}(k|k-1) + K(k)\{Z(k) - EX(k|k-1) - \theta[(\hat{X}(k|k-1)) - \Theta(k)[X(k) - (\hat{X}(k|k-1))]\}, \quad (23)$$

$$P(k+1|k) = [A + B\Phi(k+1|k)]P(k)[A + B\Phi(k+1|k)]^T + q, \quad (24)$$

$$K(k) = P(k|k-1)E^T[EP(k|k-1)E^T + r]^{-1}, \quad (25)$$

$$P(k) = [I - K(k)E + K(k)\Theta(k)]P(k|k-1). \quad (26)$$

### 3.2 基于 PF 的混沌系统参数估计和滤波

EKF 的 PF 算法可以总结如下:

1) 初始化  $k=0$

$$\hat{x}_k = \sum_{i=1}^N w_k^i x_k^i. \quad (27)$$

2) 重要性采样

将初始粒子带入 EKF 中产生重要性函数, 并采样粒子  $x_k^i \sim q(x_k^i | x_{0:k-1}^i, y_{0:k})$ ,  $i=1, 2, \dots, N$ . 计算每个粒子的加权系数

$$w_k^i \propto w_{k-1}^i \frac{p(y_k | x_k^i) p(x_k^i | x_{k-1}^i)}{q(x_k^i | x_{0:k-1}^i, y_{1:k})}. \quad (28)$$

3) 归一化权值

$$w_k^i = \frac{w_k^i}{\sum_{i=1}^N w_k^i}. \quad (29)$$

4) 重采样

从  $x_k^i$  中根据重要性权值重新采样得到新的  $N$  个粒子  $x_k^i$ , 并重新分配权值  $w_k^i = 1/N$ .

5) 状态估计均值

$$\hat{x}_k = \sum_{i=1}^N w_k^i x_k^i. \quad (30)$$

## 4 数值仿真

根据(22)式~(30)式, 当参数  $a=10, b=3, c=28$ , 采样时间  $dt=0.001$  s, 选取  $X(0)=[0 \ 1 \ 0]^T, P(0)=0$  时, 基于 EKF 的 Lorenz 混沌系统参数估计结果和误差分别如图 1 和图 2 所示, 基于 PF 的 Lorenz 混沌系统参数估计结果和误差分

别如图 3 和图 4 所示。图 1 和图 3 中, 实线代表真实值, 虚线代表估计值。重复进行 100 次实验得到的 Lorenz 混沌系统 EKF、PF 算法对状态估计的误差均值和方差如表 1 所示。

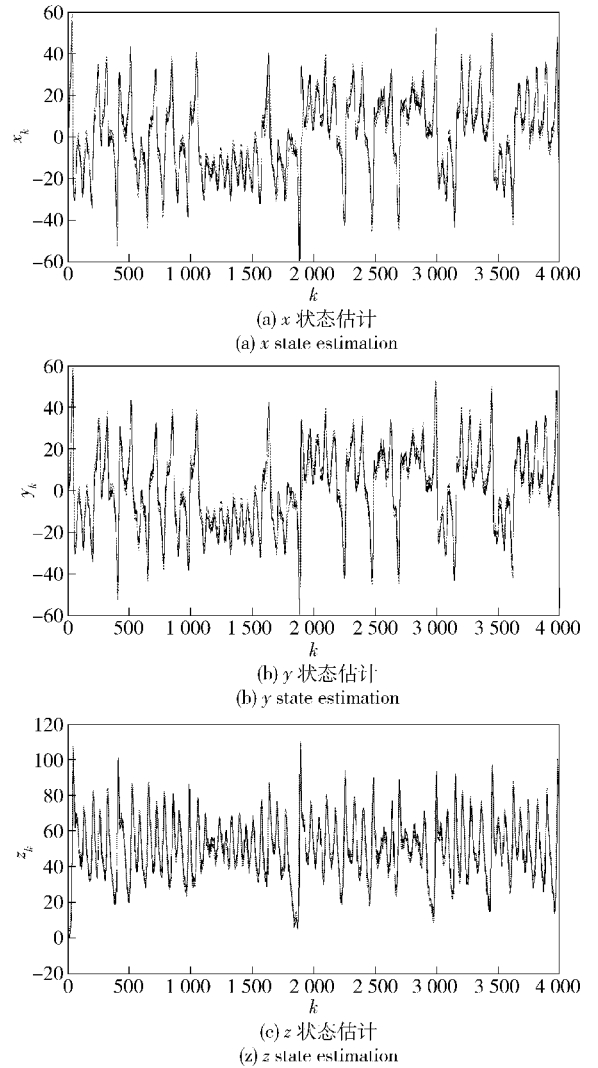


图 1 基于 EKF 的 Lorenz 混沌系统滤波结果

Fig.1 Filtering results of Lorenz chaotic system based on EKF

表 1 两种滤波算法对状态估计的误差均值和方差

Table 1 Error of mean and variance of the two filtering algorithms for state estimation

算法	均值	方差
EKF	2.375 6	0.713 8
PF	0.004 2	0.246 5

从图 1 可以看出, 基于 EKF 的估计数据和真实数据比较接近, 但从图 2 可以看出, 基于 EKF 的参数估计误差还比较大。从图 3 可以看出, 基于 PF 的估计数据和真实数据比较接近, 从图 4 可以看出, 基于 PF 的参数估计误差比较小。从表 1 可以看出,

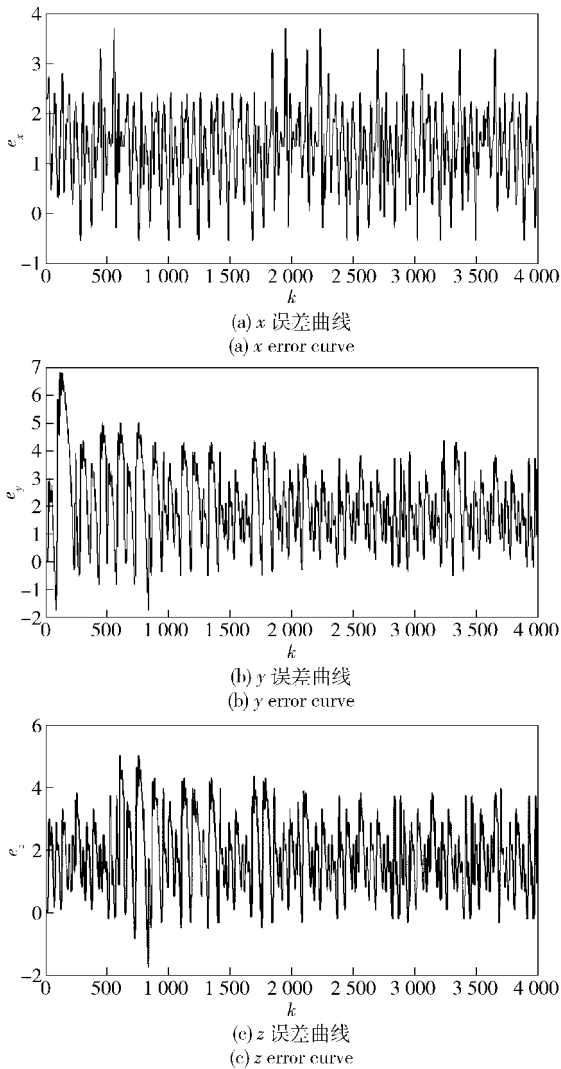


图 2 基于 EKF 的 Lorenz 混沌系统滤波误差

Fig. 2 Filtering error of Lorenz chaotic system based on EKF

PF 和 EKF: 在滤波均值方面,前者是 0.004 2,后者是 2.3756; 在滤波方差方面,前者是 0.246 5,后者是 0.713 8。显然,本文提出的滤波方法在估计偏差方面优于基于 EKF 的混沌系统参数估计和滤波方法。当非线性观测方程的 Talor 展开式中的高次项不能忽略时,EKF 会导致很大的线性化误差,EKF 这一不足造成了参数估计精度不高(如图 2 所示)。混沌系统具有初值敏感性、不能长期预测,这增加了混沌系统参数估计的难度,而粒子滤波是一种基于 Monte Carlo 仿真的递推贝叶斯估计方法,不受非线性非高斯系统的限制,对混沌系统的预测效果比 EKF 要好些。

## 5 结论

在混沌系统控制和同步中,混沌系统的参数估

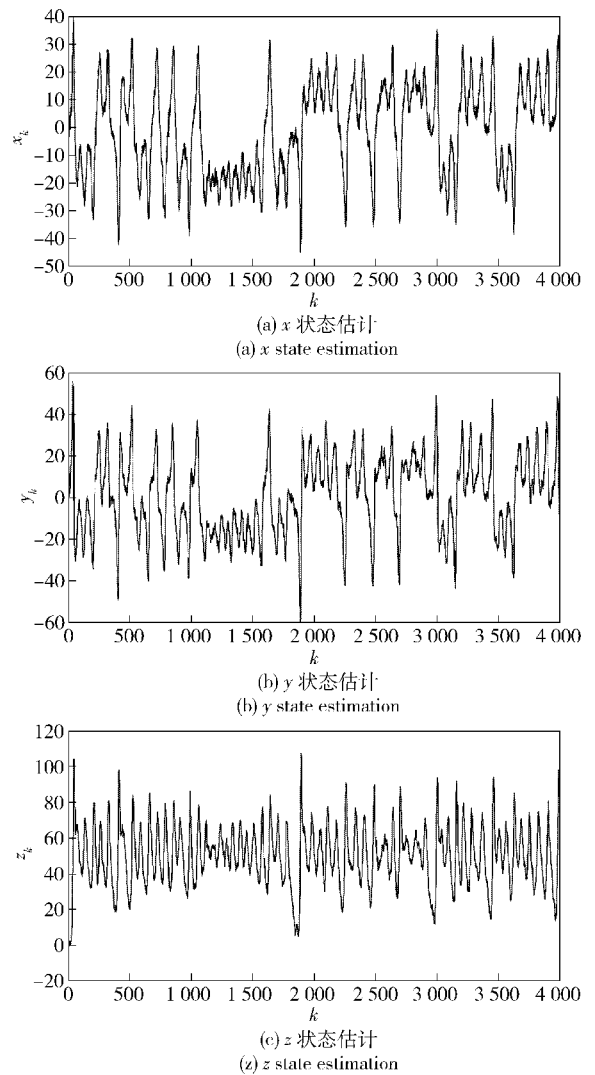


图 3 基于 PF 的 Lorenz 混沌系统滤波结果

Fig. 3 Filtering result of Lorenz chaotic system based on PF

计是至关重要的。混沌系统具有初值敏感性、不能长期预测等特点,这增加了混沌系统参数估计的难度。针对此特点,提出了一种基于 PF 的混沌系统参数估计和滤波方法,并将其用于 Lorenz 混沌系统的参数估计和滤波,在叠加噪声情况下对系统进行仿真分析。结果表明,本文提出的滤波方法在估计偏差方面优于基于 EKF 的混沌系统参数估计和滤波方法,其中 PF 在滤波估计均值、方差方面比 EKF 分别提高了 2 个数量级和 2 倍多。该方法对混沌系统的参数估计和滤波是一种有效的方法,但存在计算量较大、时间较长的缺点,需要不断优化和改进。

## 参考文献 (References)

- [1] 李丽香,彭海朋,杨义先,等. 基于混沌蚂蚁群算法的 Lorenz

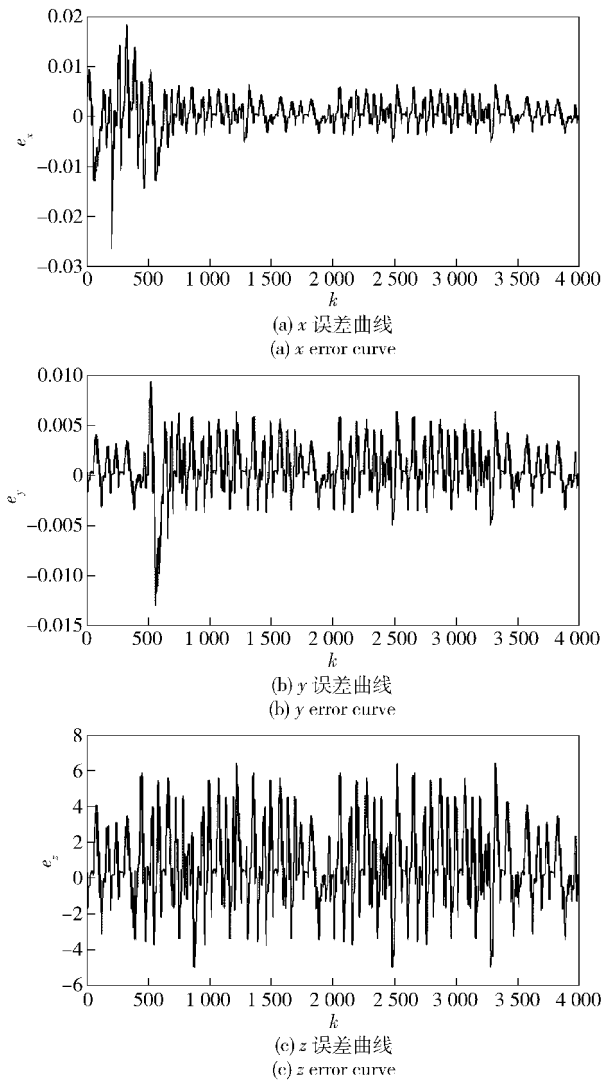


图 4 基于 PF 的 Lorenz 混沌系统滤波误差

Fig. 4 Filtering errors of Lorenz chaotic system based on PF

混沌系统的参数估计[J]. 物理学报, 2007, 56(1): 51-55.

LI Li-xiang, PENG Hai-peng, YANG Yi-xian, et al. Parameter estimation for Lorenz chaotic systems based on chaotic ant swarm algorithm[J]. Acta Physica Sinica, 2007, 56(1): 51-55. (in Chinese)

- [2] He Q, Wang L, Liu B. Parameter estimation for chaos systems by particle swarm optimization [J]. Chaos, Solitons & Fractals, 2007, 34(2): 654-661.

- [3] 戴栋, 马西奎, 李富才, 等. 一种基于遗传算法的混沌系统参数估计方法[J]. 物理学报, 2002, 51(11): 2459-2464.  
DAI Dong, MA Xi-kui, LI Fu-cai, et al. An approach of parameter estimation for a chaotic system based on genetic algorithm[J]. Acta Physica Sinica, 2002, 51(11): 2459-2464. (in Chinese)
- [4] 高飞, 童恒庆. 基于改进粒子群优化算法的混沌系统参数估计方法[J]. 物理学报, 2006, 55(2): 577-581.  
GAO Fei, TONG Heng-qing. Parameter estimation for chaotic system based on particle swarm optimization[J]. Acta Physica Sinica, 2006, 55(2): 577-581. (in Chinese)
- [5] 王钧炎, 黄德先. 基于混合差分进化算法的混沌系统参数估计[J]. 物理学报, 2008, 57(5): 2755-2799.  
WANG Jun-yan, HUANG De-xian. Parameter estimation for chaotic systems based on hybrid differential evolution algorithm[J]. Acta Physica Sinica, 2008, 57(5): 2755-2799. (in Chinese)
- [6] 张健中, 王庆超. 基于混合遗传粒子群算法的混沌系统参数估计[J]. 系统工程与电子技术, 2009, 31(9): 2212-2214.  
ZHANG Jian-zhong, WANG Qing-chao. Parameter estimation for chaotic systems based on hybridgenetic particle swarm optimization [J]. Systems Engineering and Electronics, 2009, 31(9): 2212-2214. (in Chinese)
- [7] 任子武, 熊蓉. 基于混合量子进化计算的混沌系统参数估计[J]. 控制理论与应用, 2010, 27(11): 1448-1454.  
REN Zi-wu, XIONG Rong. Hybrid quantum-inspired evolutionary algorithm-based parameter estimation for chaotic systems[J]. Control Theory & Applications, 2010, 27(11): 1448-1454. (in Chinese)
- [8] Daum F E. Nonlinear filters; beyond the Kalman filter[J]. IEEE AES Systems Magazine, 2005, 20(8): 57-69.
- [9] Li X R, Jilkov V P. A survey of maneuvering target tracking approximation techniques for nonlinear filtering[C]//Proceedings of 2004 SPIE Conference on Signal and Data Processing of Small Targets. San Diego: SPIE, 2004, 5428: 537-550.
- [10] Julier S, Uhlmann J K. Unscented filtering and nonlinear estimation[J]. Proceedings of the IEEE, 2004, 92(3): 401-422.
- [11] Zhu J H, Zheng N N, Yuan Z J, et al. A SLAM algorithm based on the central difference Kalman filter[C]//Intelligent Vehicles Symposium IEEE. Xi'an: IEEE, 2009: 123-128.
- [12] Arulampalam M S, Maskell S, Gordon N, et al. A tutorial on particle filters for online nonlinear/non-gaussian Bayesian tracking[J]. IEEE Transaction on Signal Processing, 2002, 50(2): 174-188.